
МЕХАНИКА МАШИН

УДК 531.8+621.01

**К ВОПРОСУ О ВЫЧИСЛЕНИИ КИНЕТИЧЕСКОЙ ЭНЕРГИИ ТВЕРДОГО ТЕЛА
В ОБЩЕМ СЛУЧАЕ ПРОСТРАНСТВЕННОГО ДВИЖЕНИЯ
С ПРОИЗВОЛЬНЫМ ВРАЩЕНИЕМ**

© 2022 г. Ю. А. Алюшин

*Национальный исследовательский технологический университет МИСиС, Москва, Россия
e-mail: alyushin7@gmail.com*

Поступила в редакцию 30.06.2021 г.

После доработки 06.10.2021 г.

Принята к публикации 20.10.2021 г.

Получено точное решение для кинетической энергии в общем случае пространственного движения твердых тел с произвольным вращением с учетом изменения центробежных моментов инерции. Использовано описание движения в форме Лагранжа и принцип суперпозиции, который обеспечивает геометрическое суммирование скоростей и ускорений совмещаемых движений в форме Лагранжа для любой частицы в любой момент времени. Подынтегральная функция в уравнении для кинетической энергии представлена через сумму одинаковых компонент скорости совмещаемых плоскопараллельных движений. Полярные моменты инерции не изменяются в процессе движения и их можно вычислить по текущему или исходному состоянию тела. Центробежные моменты изменяются и обращаются в ноль при вращении относительно главных центральных осей только для тел с равными главными моментами инерции, например для шара. В других случаях разность главных моментов инерции приводит к циклическим изменениям кинетической энергии с возможным проявлением прецессии и нутации, амплитуда которых зависит от угловых скоростей вращения тела. Приведен пример использования уравнений для робота с одной винтовой и двумя вращательными кинематическими парами.

Ключевые слова: кинетическая энергия, переменные Лагранжа, принцип суперпозиции движений, полярные, осевые и центробежные моменты инерции

DOI: 10.31857/S0235711922010023

Роботы различного назначения получили широкое распространение при выполнении основных и вспомогательных операций, перемещении заготовок и инструмента по заданной траектории с требуемой скоростью и точностью позиционирования. Роботизация является одним из основных факторов развития промышленности [1, 2].

Наиболее распространенные в настоящее время методики проектирования и исследования робототехнических комплексов ориентированы на использование матричных уравнений и отличаются выбором локальных систем координат [3, 4]. Силовой расчет обычно выполняют с использованием метода кинестатики [5, 6], который позволяет рассматривать подвижную систему как условно неподвижную, находящуюся в квазистатическом равновесии.

Такие методы приводят к большим объемам вычислений с частым повторением однотипных процедур, применению высокопроизводительных вычислительных устройств, использующих алгоритмы параллельной обработки данных в многопроцессорных системах. Широкое распространение получили пакеты прикладных программ для моде-

лирования работы роботов [7, 8]. Из-за сложности математического аппарата и численных методов расчета трудно оценить влияние вспомогательных факторов на результаты динамического анализа механизмов.

Проблема обеспечения необходимой точности позиционирования, расчета силовых факторов в кинематических парах и опасных сечениях звеньев остается актуальной. Продолжается поиск методов, ориентированных на совершенствование применяемого математического аппарата, методики расчета кинетической энергии звеньев механизмов с переходом от численных методов анализа к аналитическим [9, 10].

Кинетическая энергия является обязательным и обычно основным компонентом движения абсолютно твердых тел. Это требует особой ответственности при выборе методов ее определения, например при динамическом анализе мобильных роботов и иных механизмов, сложность которых с развитием технического прогресса возрастает. Основанием для расчета является теорема Кенига [11, 12] о равенстве кинетической энергии материальной системы сумме энергии переносного поступательного движения вместе с центром масс C и энергии вращательного движения относительно координатных осей, движущихся вместе с центром масс

$$E_k = \frac{1}{2}mv_C^2 + \frac{1}{2}I_C\omega^2, \quad (1)$$

где m – масса твердого тела; v_C – скорость центра масс; I_C – момент инерции тела относительно мгновенной оси вращения, проходящей через центр масс; ω – мгновенная угловая скорость вращения твердого тела. Вычисление момента инерции относительно мгновенной оси вращения, которая в общем случае подвижна и зависит от движения тела, представляет определенные сложности.

Целью работы является: получение точного уравнения для расчета кинетической энергии вращающихся твердых тел без определения положения мгновенной оси вращения для динамического анализа механизмов с развитой структурой, таких как роботы-манипуляторы.

Рассмотрим вращение тела в плоскости x – y относительно неподвижного полюса $P(\alpha_p, \beta_p)$ в пространстве переменных Лагранжа [13]. При обозначениях текущих координат $x_i \in (x, y, z)$ будем использовать для переменных Лагранжа $\alpha_p \in (\alpha, \beta, \gamma)$ начальные координаты частиц $\alpha_p = x_p|_{t=0}$. Исходное положение произвольной точки $M(\alpha, \beta)$ определим углом наклона $(\theta_z)_0$ прямой PM по отношению к оси x и расстоянием между точками $|PM| = L = \text{const}$

$$\alpha = \alpha_p + L \cos(\theta_z)_0, \quad \beta = \beta_p + L \sin(\theta_z)_0. \quad (2)$$

После поворота прямой PM на угол $\Delta\theta_z = \theta_z - (\theta_z)_0$ координаты точки $M(x, y)$ можно определить по аналогичным соотношениям

$$x = \alpha_p + L \cos \theta_z = \alpha_p + L \cos[(\theta_z)_0 + \Delta\theta_z], \quad y = \beta_p + L \sin[(\theta_z)_0 + \Delta\theta_z].$$

Исключая из этих уравнений длину L и начальное значение угла $(\theta_z)_0$ с помощью уравнений (2), получаем систему уравнений движения

$$\begin{aligned} x &= \alpha_p + (\alpha - \alpha_p) \cos \Delta\theta_z - (\beta - \beta_p) \sin \Delta\theta_z, \\ y &= \beta_p + (\alpha - \alpha_p) \sin \Delta\theta_z + (\beta - \beta_p) \cos \Delta\theta_z, \\ z &= \gamma, \end{aligned} \quad (3)$$

и соответствующие им скорости

$$x_t = -\theta_{z,t}(y - \beta_p), \quad y_t = \theta_{z,t}(x - \alpha_p), \quad z_t = 0. \quad (4)$$

Нижний индекс t при обозначении координат $x_{i,t}$ и углов поворота $\theta_{i,t}$ соответствует дифференцированию соответствующих функций по времени $dx_i/dt \equiv x_{i,t}$, $d\theta_i/dt \equiv \theta_{i,t}$.

Для плоскопараллельных движений в других плоскостях уравнения могут быть получены с помощью круговой подстановки:

– при вращении относительно оси x

$$\begin{aligned} x &= \alpha, & x_t &= 0, \\ y &= \beta_p + (\beta - \beta_p) \cos \Delta\theta_x - (\gamma - \gamma_p) \sin \Delta\theta_x, & y_t &= -\theta_{x,t}(z - \gamma_p), \\ z &= \gamma_p + (\beta - \beta_p) \sin \Delta\theta_x + (\gamma - \gamma_p) \cos \Delta\theta_x, & z_t &= \theta_{x,t}(y - \beta_p); \end{aligned} \quad (5)$$

– при вращении относительно оси y

$$\begin{aligned} x &= \alpha_p + (\alpha - \alpha_p) \cos \Delta\theta_y + (\gamma - \gamma_p) \sin \Delta\theta_y, & x_t &= \theta_{y,t}(z - \gamma_p), \\ y &= \beta, & y_t &= 0, \\ z &= \gamma_p + (\gamma - \gamma_p) \cos \Delta\theta_y - (\alpha - \alpha_p) \sin \Delta\theta_y, & z_t &= -\theta_{y,t}(x - \alpha_p). \end{aligned} \quad (6)$$

Нижний индекс при обозначении угла поворота тела θ_i указывает направление оси вращения, проходящей через полюс P параллельно осям системы координат наблюдателя, относительно которой происходит вращение тела. Уравнения (3)–(6) будут использованы как исходные для всех дальнейших преобразований.

Для пространственных движений системы типа (6) можно получить с помощью принципа суперпозиции [14], который позволяет рассматривать их как одновременную реализацию нескольких плоскопараллельных движений. Если переменные Эйлера и Лагранжа совпадают в исходном состоянии $x_i(\alpha_p, t = 0) = \alpha_i$, совмещение движений сводится к замене переменных Лагранжа внешнего движения $x_i^{ex} = x_i^{ex}(\alpha_p, t)$ на выражения для соответствующих переменных Эйлера внутреннего движения $x_i^{in} = x_i^{in}(\alpha_p, t)$. Уравнения совмещенного движения $x_i = x_i(\alpha_p, t)$ при последовательном или одновременном их протекании совпадают с уравнениями внешнего движения после замены переменных Лагранжа соответствующими уравнениями для переменных Эйлера внутреннего движения

$$x_i(\alpha_p, t) = x_i^{ex}(x_i^{in}(\alpha_p, t), t). \quad (7)$$

Внешние и внутренние движения аналогичны переносным и относительным в классической механике, но отличаются обязательным использованием единой системы координат. Принцип допускает многократное его применение без нарушения правила геометрического сложения скоростей и ускорений совмещаемых движений в каждой точке и в каждый момент времени [14–16].

Например, чтобы получить уравнения движения с вращением относительно подвижного полюса, следует наложения (3)–(6) поступательное перемещение полюса P

$$x = \alpha + x_p(t) - \alpha_p, \quad y = \beta + y_p(t) - \beta_p, \quad z = \gamma + z_p(t) - \gamma_p. \quad (8)$$

В результате первое слагаемое (лагранжева координата) в каждом из уравнений (3)–(6) заменяется на текущую (эйлерову) координату

$$\begin{aligned} x &= x_p + (\alpha - \alpha_p) \cos \Delta\theta_z - (\beta - \beta_p) \sin \Delta\theta_z, \\ y &= y_p + (\alpha - \alpha_p) \sin \Delta\theta_z + (\beta - \beta_p) \cos \Delta\theta_z, & z &= \gamma + z_p - \gamma_p, \\ x &= \alpha + x_p - \alpha_p, & y &= y_p + (\beta - \beta_p) \cos \Delta\theta_x - (\gamma - \gamma_p) \sin \Delta\theta_x, \\ z &= z_p + (\beta - \beta_p) \sin \Delta\theta_x + (\gamma - \gamma_p) \cos \Delta\theta_x, \end{aligned} \quad (9)$$

$$x = x_p + (\alpha - \alpha_p) \cos \Delta\theta_y + (\gamma - \gamma_p) \sin \Delta\theta_y, \quad y = \beta + y_p - \beta_p,$$

$$z = z_p + (\gamma - \gamma_p) \cos \Delta\theta_y - (\alpha - \alpha_p) \sin \Delta\theta_y.$$

Каждая система из трех уравнений соответствует движению с четырьмя степенями свободы: три поступательных перемещения (8) вдоль координатных осей полюса P и поворот тела $\Delta\theta_i$ относительно соответствующей оси.

Кинетическая энергия при произвольном вращении твердого тела. Уравнений (3)–(9) достаточно для определения любых кинематических характеристик движения абсолютно твердых тел, в том числе кинетической энергии, которую по определению для тела с объемом V , плотностью ρ и массой m определяет интеграл [11, 12]

$$E_k = 0.5\rho \int_V v^2 \delta V = 0.5 \int_m v^2 \delta m = 0.5 \int_m (x_i^2 + y_i^2 + z_i^2) \delta m. \quad (10)$$

С учетом разной природы аргументов при описании движения в форме Лагранжа, в уравнении (10) и ниже для обозначения бесконечно малых приращений аргументов и функций в пространстве переменных Лагранжа использован оператор δ , в том числе при интегрировании по массе δm . Оператор d характеризует бесконечно малые изменения функций во времени, как использовано выше для компонент скорости $dx_i/dt \equiv x_{i,t}$.

Точное интегрирование уравнения (10) можно выполнить при плоскопараллельном движении с вращением относительно одной оси, например z , когда по всему объему тела $z_i = 0$. С учетом уравнений движения (9) преобразуем правую часть к виду

$$E_k = 0.5m \left[(x_t)_P^2 + (y_t)_P^2 \right] - \theta_{z,t} \int_m \left[(x_t)_P (y - y_P) - (y_t)_P (x - x_P) \right] \delta m +$$

$$+ 0.5\theta_{z,t}^2 \int_m \left[(x - x_P)^2 + (y - y_P)^2 \right] \delta m. \quad (11)$$

Для интегрирования во втором слагаемом воспользуемся понятием центра масс $C(x_C, y_C)$ [11, 12]

$$x_C m = \int_m x \delta m, \quad y_C m = \int_m y \delta m, \quad (12)$$

координаты которого можно вынести за знак интеграла и вместо (11) записать

$$E_k = 0.5m \left[(x_t)_P^2 + (y_t)_P^2 \right] - \theta_{z,t} m \left[(x_t)_P (y_C - y_P) - (y_t)_P (x_C - x_P) \right] +$$

$$+ 0.5\theta_{z,t}^2 \int_m \left[(x - x_P)^2 + (y - y_P)^2 \right] \delta m. \quad (13)$$

Оставшийся в правой части интеграл в механике твердого тела называют моментом инерции при вращательном движении тела, по аналогии с массой m при поступательном движении [11, 12]. Принимая во внимание особенности более общего случая движения, в настоящей статье будем его называть, по аналогии с терминологией теории упругости [15, 16], полярным моментом инерции, как более полно отражающим его геометрический смысл, при сохранении принятого в механике твердого тела обозначения J_P

$$J_P^z = \int_m \left[(x - x_P)^2 + (y - y_P)^2 \right] \delta m. \quad (14)$$

В результате вместо (13) получаем

$$E_k = 0.5m \left(x_t^2 + y_t^2 \right)_P + 0.5\theta_{z,t}^2 J_P^z - \theta_{z,t} m \left[(x_t)_P (y_C - y_P) - (y_t)_P (x_C - x_P) \right]. \quad (15)$$

Положение центра масс зависит от конфигурации тела и определяется по уравнениям (12). Положение полюса можно выбрать произвольно. Если в качестве полюса

выбрать центр масс, последнее слагаемое обращается в ноль и формула (15) принимает простейший вид

$$E_k = 0.5m(x_i^2 + y_i^2)_C + 0.5\theta_{z,t}^2 J_C^z. \quad (16)$$

Уравнение (16) можно распространить на любое пространственное поступательное движение с вращением относительно одной оси, т.к. компонента z_i для всех частиц тела одинакова

$$\begin{aligned} E_k &= 0.5 \int_m (x_i^2 + y_i^2 + z_i^2) \delta m = 0.5 \left[\int_m (x_i^2 + y_i^2) \delta m + \int_m (z_i^2)_C \delta m \right] = \\ &= 0.5mv_C^2 + 0.5\theta_{z,t}^2 J_C^z. \end{aligned}$$

Результат можно записать в инвариантной форме для любой оси

$$E_k = 0.5mv_C^2 + 0.5\theta_{i,t}^2 J_C^i, \quad (17)$$

что совпадает с уравнением (1), т.к. ось вращения совпадает с мгновенной.

Получить точную аналитическую зависимость кинетической энергии при пространственном движении твердого тела без определения положения мгновенной оси вращения позволяет представление интеграла (10) в виде суммы трех интегралов, в каждом из которых подынтегральные функции представляют сумму одноименных компонент скорости совмещаемых плоскопараллельных движений

$$\begin{aligned} E_k &= 0.5 \int_m v^2 \delta m = 0.5 \int_m (x_i^2 + y_i^2 + z_i^2) \delta m = \\ &= 0.5 \int_m (x_i' + x_i'' + x_i''')^2 \delta m + 0.5 \int_m (y_i' + y_i'' + y_i''')^2 \delta m + 0.5 \int_m (z_i' + z_i'' + z_i''')^2 \delta m, \end{aligned} \quad (18)$$

где штрихами обозначены компоненты скорости от трех вращений: один штрих – относительно оси x , два штриха – относительно оси y , три штриха – относительно оси z . Это соответствует правилу геометрического сложения скоростей при совмещении движений, оно выполняется при используемом принципе суперпозиции (7) [14].

Для сокращения математических записей рассмотрим сначала вращение тела относительно трех координатных осей, проходящих через неподвижный полюс $P(\alpha_P, \beta_P, \gamma_P)$ и к полученному результату добавим энергию поступательного движения тела вместе с полюсом (8), как это предусмотрено в теореме Кенига [11, 12].

Из уравнений (3)–(6) следует, что в каждом интеграле из уравнения (18) одно из слагаемых обращается в ноль

$$E_k = 0.5 \int_m (x_i'' + x_i''')^2 \delta m + 0.5 \int_m (y_i' + y_i''')^2 \delta m + 0.5 \int_m (z_i' + z_i'')^2 \delta m. \quad (19)$$

Для первого интеграла с компонентами скорости вдоль оси x с учетом уравнений (3)–(6) получаем (верхний индекс при обозначении E_k^i показывает направление компоненты скорости в данном интеграле)

$$E_k^x = 0.5 \int_m \left\{ \theta_{z,t}^2 (y - \beta_P)^2 + \theta_{y,t}^2 (z - \gamma_P)^2 - 2\theta_{y,t} \theta_{z,t} (y - \beta_P)(z - \gamma_P) \right\} \delta m. \quad (20)$$

Так как угловые скорости $\theta_{i,t}$ одинаковы для всех частиц тела, их можно вынести за знак интеграла

$$E_k^x = 0.5\theta_{z,t}^2 \int_m (y - \beta_P)^2 \delta m + 0.5\theta_{y,t}^2 \int_m (z - \gamma_P)^2 \delta m - \theta_{y,t} \theta_{z,t} \int_m (y - \beta_P)(z - \gamma_P) \delta m. \quad (21)$$

Оставшиеся в правой части интегралы относятся к осевым $(I_i^j)_P$ и центробежным $(I_{ij})_P$ моментам инерции [15, 16]

$$\left(I_y^z\right)_P = \int_m (y - \beta_P)^2 \delta m, \quad \left(I_z^y\right)_P = \int_m (z - \gamma_P)^2 \delta m, \quad (I_{yz})_P = \int_m (y - \beta_P)(z - \gamma_P) \delta m. \quad (22)$$

Для большей определенности верхний индекс у осевых моментов инерции $(I_i^j)_P$ указывает направление нормали к соответствующей плоскости, которая совпадает с осью вращения, указанной индексом угловой скорости $\theta_{i,t}$ в рассматриваемом слагаемом. Для центробежных моментов инерции, у которых множителями являются две угловые скорости, верхний индекс отсутствует. Строчные нижние индексы при моментах инерции $(I_{ij})_P$ в уравнениях (22) и далее указывают переменные в соответствующих подынтегральных функциях. Уравнение (21) принимает вид

$$E_k^x = 0.5\theta_{z,t}^2 \left(I_y^z\right)_P + 0.5\theta_{y,t}^2 \left(I_z^y\right)_P - \theta_{y,t}\theta_{z,t} (I_{yz})_P. \quad (23)$$

Для двух других интегралов уравнения (19), преобразуя их с помощью уравнений (5) и (6) к виду (20), находим

$$E_k^y = 0.5\theta_{z,t}^2 \left(I_x^z\right)_P + 0.5\theta_{x,t}^2 \left(I_z^x\right)_P - \theta_{x,t}\theta_{z,t} (I_{xz})_P, \quad (24)$$

$$E_k^z = 0.5\theta_{x,t}^2 \left(I_y^x\right)_P + 0.5\theta_{y,t}^2 \left(I_x^y\right)_P - \theta_{y,t}\theta_{x,t} (I_{xy})_P. \quad (25)$$

Суммируя правые части уравнений (23)–(25), получаем

$$E_k = 0.5\theta_{z,t}^2 \left(I_x^z + I_y^z\right)_P + 0.5\theta_{y,t}^2 \left(I_x^y + I_z^y\right)_P + 0.5\theta_{x,t}^2 \left(I_y^x + I_z^x\right)_P - \theta_{y,t}\theta_{z,t} (I_{yz})_P - \theta_{x,t}\theta_{z,t} (I_{xz})_P - \theta_{y,t}\theta_{x,t} (I_{xy})_P, \quad (26)$$

где

$$\begin{aligned} \left(I_x^y\right)_P &= \left(I_x^z\right)_P = \int_m (x - \alpha_P)^2 \delta m, & \left(I_y^x\right)_P &= \left(I_y^z\right)_P = \int_m (y - \beta_P)^2 \delta m, \\ \left(I_z^x\right)_P &= \left(I_z^y\right)_P = \int_m (z - \gamma_P)^2 \delta m, \\ \left(I_{xy}\right)_P &= \int_m (x - \alpha_P)(y - \beta_P) \delta m, & \left(I_{yz}\right)_P &= \int_m (y - \beta_P)(z - \gamma_P) \delta m, \\ \left(I_{zx}\right)_P &= \int_m (x - \alpha_P)(z - \gamma_P) \delta m. \end{aligned} \quad (27)$$

Сумма осевых моментов инерции (27) в первых трех слагаемых уравнения (26) определяет квадраты расстояний между проекциями точки и полюса в разных плоскостях. При вращении твердого тела они остаются, как это следует из уравнений движения (3)–(6), постоянными и получаемые в результате полярные моменты инерции не изменяются, например

$$J_P^z = \int_m \left[(x - \alpha_P)^2 + (y - \beta_P)^2 \right] \delta m = \int_m \left[(\alpha - \alpha_P)^2 + (\beta - \beta_P)^2 \right] \delta m = \text{const}. \quad (28)$$

При использовании общепринятых в механике твердого тела обозначений (14)

$$\begin{aligned} \left(I_y^z\right)_P + \left(I_x^z\right)_P &= \int_m \left[(x - \alpha_P)^2 + (y - \beta_P)^2 \right] \delta m = J_P^z, \\ \left(I_z^y\right)_P + \left(I_x^y\right)_P &= \int_m \left[(x - \alpha_P)^2 + (z - \gamma_P)^2 \right] \delta m = J_P^y, \end{aligned} \quad (29)$$

$$\left(I_y^x\right)_P + \left(I_z^x\right)_P = \int_m \left[(z - \gamma_P)^2 + (y - \beta_P)^2 \right] \delta m = J_P^x,$$

вместо (26) получаем

$$E_k = 0.5 \left(\theta_{z,t}^2 J_P^z + \theta_{y,t}^2 J_P^y + \theta_{x,t}^2 J_P^x \right) - \theta_{y,t} \theta_{z,t} \left(I_{yz} \right)_P - \theta_{x,t} \theta_{z,t} \left(I_{xz} \right)_P - \theta_{y,t} \theta_{x,t} \left(I_{xy} \right)_P. \quad (30)$$

Верхний индекс у моментов инерции J_P^i соответствует оси, относительно которой он должен быть определен. Нижний индекс указывает точку, через которую должна проходить ось вращения $i \in (x, y, z)$.

Уравнение (30) не содержит никаких ограничений и применимо для любых вариантов пространственного движения тел с произвольным вращением. Последние слагаемые с центробежными моментами инерции $(I_{ij})_P$, в отличие от полярных моментов инерции J_P^i в первых трех слагаемых, изменяются при вращении тела и влияют на значения кинетической энергии.

Чтобы оценить возможный диапазон изменения центробежных моментов инерции в уравнении (30), воспользуемся начальными значениями осевых и центробежных моментов инерции, которые остаются неизменными в процессе движения тела. Их значения следуют из уравнений (27), если текущие координаты $x_i \in (x, y, z)$ приравнять начальным $\alpha_P \in (\alpha, \beta, \gamma)$

$$\begin{aligned} \left(I_\alpha^z\right)_P = \left(I_\alpha^y\right)_P &= \int_m (\alpha - \alpha_P)^2 \delta m, & \left(I_\beta^x\right)_P = \left(I_\beta^z\right)_P &= \int_m (\beta - \beta_P)^2 \delta m, \\ \left(I_\gamma^x\right)_P = \left(I_\gamma^y\right)_P &= \int_m (\gamma - \gamma_P)^2 \delta m; \end{aligned} \quad (31)$$

$$\begin{aligned} \left(I_{\alpha\beta}\right)_P &= \int_m (\alpha - \alpha_P)(\beta - \beta_P) \delta m, & \left(I_{\beta\gamma}\right)_P &= \int_m (\beta - \beta_P)(\gamma - \gamma_P) \delta m, \\ \left(I_{\gamma\alpha}\right)_P &= \int_m (\alpha - \alpha_P)(\gamma - \gamma_P) \delta m. \end{aligned} \quad (32)$$

Для нижних индексов в левой части уравнений (31)–(32) использованы переменные Лагранжа $\alpha_P \in (\alpha, \beta, \gamma)$, чтобы отличить моменты инерции в исходном состоянии от текущих (27).

Полярные моменты инерции (29) остаются неизменными при повороте тела. Используя уравнения движения (3)–(6), систему (27) для центробежных моментов инерции $(I_{ij})_P$ преобразуем к виду

$$\begin{aligned} \left(I_{xy}\right)_P &= \int_m (x - \alpha_P)(y - \beta_P) \delta m = \\ &= 0.5 \sin(2\Delta\theta_z) \int_m \left[(\alpha - \alpha_P)^2 - (\beta - \beta_P)^2 \right] \delta m + \cos(2\Delta\theta_z) \int_m (\alpha - \alpha_P)(\beta - \beta_P) \delta m, \\ \left(I_{yz}\right)_P &= \int_m (y - \beta_P)(z - \gamma_P) \delta m = \\ &= 0.5 \sin(2\Delta\theta_x) \int_m \left[(\beta - \beta_P)^2 - (\gamma - \gamma_P)^2 \right] \delta m + \cos(2\Delta\theta_x) \int_m (\beta - \beta_P)(\gamma - \gamma_P) \delta m, \\ \left(I_{zx}\right)_P &= \int_m (x - \alpha_P)(z - \gamma_P) \delta m = \\ &= 0.5 \sin(2\Delta\theta_y) \int_m \left[(\gamma - \gamma_P)^2 - (\alpha - \alpha_P)^2 \right] \delta m + \cos(2\Delta\theta_y) \int_m (\alpha - \alpha_P)(\gamma - \gamma_P) \delta m, \end{aligned}$$

или, с учетом обозначений для начальных значений (31)–(32),

$$\begin{aligned}(I_{xy})_P &= \int_m (x - \alpha_P)(y - \beta_P) \delta m = 0.5 \sin(2\Delta\theta_z) \left[(I_\alpha^z)_P - (I_\beta^z)_P \right] + \cos(2\Delta\theta_z) (I_{\alpha\beta})_P, \\(I_{yz})_P &= 0.5 \sin(2\Delta\theta_x) \left[(I_\beta^x)_P - (I_\gamma^x)_P \right] + \cos(2\Delta\theta_x) (I_{\beta\gamma})_P, \\(I_{zx})_P &= 0.5 \sin(2\Delta\theta_y) \left[(I_\gamma^y)_P - (I_\alpha^y)_P \right] + \cos(2\Delta\theta_y) (I_{\gamma\alpha})_P.\end{aligned}\quad (33)$$

Полученные уравнения совпадают с известными соотношениям для изменения центробежных моментов инерции твердых тел при повороте осей координат [15, 16]. Следовательно, три последних слагаемых в уравнении (30) учитывают изменение центробежных моментов инерции относительно осей системы координат наблюдателя за счет поворота тела. На долю кинетической энергии, определяемую слагаемыми с центробежными моментами инерции (33), влияют особенности вращения относительно всех осей. Если вращение происходит относительно только двух осей, например y и z , уравнение (30) принимает вид

$$E_k = 0.5\theta_{z,t}^2 J_P^z + 0.5\theta_{y,t}^2 J_P^y - \theta_{y,t}\theta_{z,t} (I_{yz})_P, \quad (34)$$

где за счет $\Delta\theta_x = 0$ оставшийся центробежный момент $(I_{yz})_P$ не изменяется при повороте тела, как и полярные моменты инерции (29),

$$(I_{yz})_P = \int_m (y - \beta_P)(z - \gamma_P) \delta m = \int_m (\beta - \beta_P)(\gamma - \gamma_P) \delta m.$$

Если вращение происходит относительно только одной оси, уравнение (30) преобразуется к виду (15) для неподвижного полюса (первое и третье слагаемые обращаются в ноль)

$$E_k = 0.5\theta_{z,t}^2 (I_x^z + I_y^z)_P = 0.5\theta_{z,t}^2 J_P^z. \quad (35)$$

При вращении относительно трех осей следует использовать уравнение (30) с центробежными моментами (33).

Если совместить полюс P с центром масс C , уравнение (30) принимает вид

$$E_k = 0.5 \left(\theta_{z,t}^2 J_C^z + \theta_{y,t}^2 J_C^y + \theta_{x,t}^2 J_C^x \right) - \theta_{y,t}\theta_{z,t} (I_{yz})_C - \theta_{x,t}\theta_{z,t} (I_{xz})_C - \theta_{y,t}\theta_{x,t} (I_{xy})_C, \quad (36)$$

где для полярных моментов инерции вместо (29) получаем

$$\begin{aligned}J_C^z &= \int_m \left[(x - \alpha_C)^2 + (y - \beta_C)^2 \right] \delta m, & J_C^y &= \int_m \left[(x - \alpha_C)^2 + (z - \gamma_C)^2 \right] \delta m, \\J_C^x &= \int_m \left[(y - \beta_C)^2 + (z - \gamma_C)^2 \right] \delta m.\end{aligned}\quad (37)$$

Для центробежных моментов вместо (33) справедливы уравнения

$$\begin{aligned}(I_{xy})_C &= 0.5 \sin(2\Delta\theta_z) \left[(I_\alpha)_C - (I_\beta)_C \right] + \cos(2\Delta\theta_z) (I_{\alpha\beta})_C, \\(I_{yz})_C &= 0.5 \sin(2\Delta\theta_x) \left[(I_\beta)_C - (I_\gamma)_C \right] + \cos(2\Delta\theta_x) (I_{\beta\gamma})_C, \\(I_{zx})_C &= 0.5 \sin(2\Delta\theta_y) \left[(I_\gamma)_C - (I_\alpha)_C \right] + \cos(2\Delta\theta_y) (I_{\alpha\gamma})_C,\end{aligned}\quad (38)$$

где вместо (31)–(32) для центральных моментов инерции в исходном состоянии имеем

$$(I_\alpha^z)_C = (I_\alpha^y)_C = \int_m (\alpha - \alpha_C)^2 \delta m, \quad (I_\beta^x)_C = (I_\beta^z)_C = \int_m (\beta - \beta_C)^2 \delta m,$$

$$\begin{aligned} (I_\gamma^x)_C &= (I_\gamma^y)_C = \int_m (\gamma - \gamma_C)^2 \delta m, \\ (I_{\alpha\beta})_C &= \int_m (\alpha - \alpha_C)(\beta - \beta_C) \delta m, \quad (I_{\beta\gamma})_C = \int_m (\beta - \beta_C)(\gamma - \gamma_C) \delta m, \\ (I_{\gamma\alpha})_C &= \int_m (\alpha - \alpha_C)(\gamma - \gamma_C) \delta m. \end{aligned}$$

Для расчета кинетической энергии с учетом поступательного движения центра масс уравнения (30) и (36), в соответствии с теоремой Кенига, преобразуются к виду

$$\begin{aligned} E_k &= 0.5v_P^2 m + 0.5(\theta_{z,t}^2 J_P^z + \theta_{y,t}^2 J_P^y + \theta_{x,t}^2 J_P^x) - \theta_{y,t} \theta_{z,t} (I_{yz})_P - \\ &\quad - \theta_{x,t} \theta_{z,t} (I_{xz})_P - \theta_{y,t} \theta_{x,t} (I_{xy})_P, \end{aligned} \quad (39)$$

$$\begin{aligned} E_k &= 0.5v_C^2 m + 0.5(\theta_{z,t}^2 J_C^z + \theta_{y,t}^2 J_C^y + \theta_{x,t}^2 J_C^x) - \theta_{y,t} \theta_{z,t} (I_{yz})_C - \\ &\quad - \theta_{x,t} \theta_{z,t} (I_{xz})_C - \theta_{y,t} \theta_{x,t} (I_{xy})_C. \end{aligned} \quad (40)$$

Полярные моменты инерции J_P^i определяют уравнения (29) или (37), центробежные $(I_{ij})_P$ – (33) или (38).

Пример применения уравнений. Рассмотрим применение полученных уравнений на примере робота-манипулятора с двумя вращательными и одной винтовой кинематическими парами для перемещения груза массой m [1, 6]. Структурная схема робота с тремя независимыми приводами и вращением звеньев относительно пересекающихся осей представлена на рис. 1.

Звено 1 закреплено на стойке с помощью вращательной кинематической пары, которая позволяет звену вращаться относительно оси z , проходящей через начало координат. Частицы звена изменяют положение в пространстве наблюдателя в соответствии с уравнениями (3), которые с учетом принятой системы координат и положения полюса принимают вид

$$x = \alpha \cos \Delta\theta_z - \beta \sin \Delta\theta_z, \quad y = \alpha \sin \Delta\theta_z + \beta \cos \Delta\theta_z, \quad z = \gamma. \quad (41)$$

Звено 2 вращается относительно оси y_1 , используя привод в кинематической паре с точкой $A(\alpha_A = 0, 0, \gamma_A = H)$

$$\begin{aligned} x &= \alpha_A + (\alpha - \alpha_A) \cos \Delta\theta_y + (\gamma - \gamma_A) \sin \Delta\theta_y, \quad y = \beta, \\ z &= \gamma_A + (\gamma - \gamma_A) \cos \Delta\theta_y - (\alpha - \alpha_A) \sin \Delta\theta_y. \end{aligned} \quad (42)$$

Звенья 2 и 3 соединены винтовой кинематической парой в точке $B(\alpha_B = L_1, 0, \gamma_B = H)$. Привод обеспечивает поступательное и вращательное движения звена 3 относительно звена 2

$$\begin{aligned} x &= \alpha + x_B - \alpha_B, \quad y = \beta_B + (\beta - \beta_B) \cos \Delta\theta_x - (\gamma - \gamma_B) \sin \Delta\theta_x, \\ z &= \gamma_B + (\beta - \beta_B) \sin \Delta\theta_x + (\gamma - \gamma_B) \cos \Delta\theta_x. \end{aligned} \quad (43)$$

Поступательное перемещение u определяет шаг винтовой пары h и угол поворота звена $\Delta\theta_x$

$$x_B - \alpha_B = u = h\Delta\theta_x / (2\pi).$$

В соответствии с уравнением (7), для уравнений совмещенного движения звена 2 при внешнем движении звена 1 следует переменные Лагранжа в уравнениях (41) заменить соответствующими уравнениями (42)

$$(x)_2 = [\alpha_A + (\alpha - \alpha_A) \cos \Delta\theta_y + (\gamma - \gamma_A) \sin \Delta\theta_y] \cos \Delta\theta_z - \beta \sin \Delta\theta_z,$$

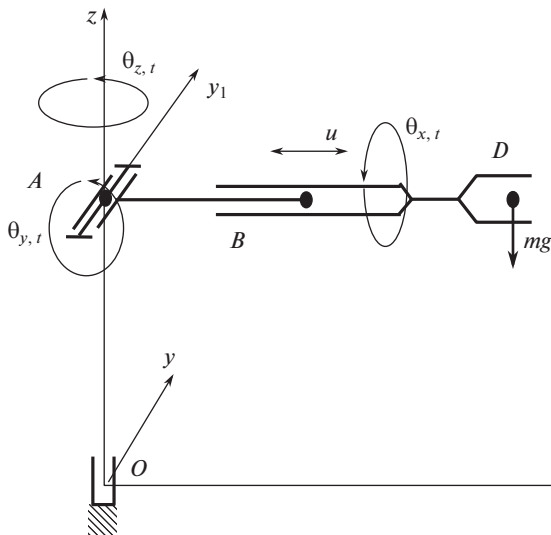


Рис. 1. Структурная схема трехзвенного робота с двумя вращательными и одной винтовой кинематическими парами в исходном положении.

$$(y)_2 = [\alpha_A + (\alpha - \alpha_A) \cos \Delta\theta_y + (\gamma - \gamma_A) \sin \Delta\theta_y] \sin \Delta\theta_z + \beta \cos \Delta\theta_z, \quad (44)$$

$$(z)_2 = \gamma_A + (\gamma - \gamma_A) \cos \Delta\theta_y - (\alpha - \alpha_A) \sin \Delta\theta_y.$$

Производные по времени определяют компоненты скорости частиц

$$(x_t)_2 = -\theta_{z,t} \{[\alpha_A + (\alpha - \alpha_A) \cos \Delta\theta_y + (\gamma - \gamma_A) \sin \Delta\theta_y] \sin \Delta\theta_z + \beta \cos \Delta\theta_z\} - \theta_{y,t} [(\alpha - \alpha_A) \sin \Delta\theta_y - (\gamma - \gamma_A) \cos \Delta\theta_y] \cos \Delta\theta_z,$$

$$(y_t)_2 = \theta_{z,t} \{[\alpha_A + (\alpha - \alpha_A) \cos \Delta\theta_y + (\gamma - \gamma_A) \sin \Delta\theta_y] \cos \Delta\theta_z - \beta \sin \Delta\theta_z\} - \theta_{y,t} \{[(\alpha - \alpha_A) \sin \Delta\theta_y - (\gamma - \gamma_A) \cos \Delta\theta_y] \sin \Delta\theta_z\}, \quad (45)$$

$$(z_t)_2 = -\theta_{y,t} [(\gamma - \gamma_A) \sin \Delta\theta_y + (\alpha - \alpha_A) \cos \Delta\theta_y].$$

Используя повторно правило суперпозиции (7), с учетом внутреннего движения (43) и внешнего (44) при равенстве координат $\beta_A = \beta_B$ и $\gamma_A = \gamma_B$ получаем для звена 3 вращение относительно трех осей

$$(x)_3 = \{\alpha_A + (\alpha + u - \alpha_A) \cos \Delta\theta_y + [(\beta - \beta_B) \sin \Delta\theta_x + (\gamma - \gamma_B) \cos \Delta\theta_x] \sin \Delta\theta_y\} \cos \Delta\theta_z - [\beta_B + (\beta - \beta_B) \cos \Delta\theta_x - (\gamma - \gamma_B) \sin \Delta\theta_x] \sin \Delta\theta_z,$$

$$(y)_3 = \{\alpha_A + (\alpha + u - \alpha_A) \cos \Delta\theta_y + [(\beta - \beta_B) \sin \Delta\theta_x + (\gamma - \gamma_B) \cos \Delta\theta_x] \sin \Delta\theta_y\} \sin \Delta\theta_z + [\beta_B + (\beta - \beta_B) \cos \Delta\theta_x - (\gamma - \gamma_B) \sin \Delta\theta_x] \cos \Delta\theta_z, \quad (46)$$

$$(z)_3 = \gamma_A + [(\beta - \beta_B) \sin \Delta\theta_x + (\gamma - \gamma_B) \cos \Delta\theta_x] \cos \Delta\theta_y - (\alpha + u - \alpha_A) \sin \Delta\theta_y.$$

После дифференцирования по времени находим компоненты скорости, например, для $(x_t)_3$

$$\begin{aligned}
 (x_t)_3 = & u_t \cos \Delta\theta_y \cos \Delta\theta_z - \theta_{y,t}(\alpha + u - \alpha_A) \sin \Delta\theta_y \cos \Delta\theta_z + \\
 & + \theta_{x,t} [(\beta - \beta_B) \cos \Delta\theta_x - (\gamma - \gamma_B) \sin \Delta\theta_x] \sin \Delta\theta_y \cos \Delta\theta_z + \\
 & + \theta_{y,t} [\gamma_B + (\beta - \beta_B) \sin \Delta\theta_x + (\gamma - \gamma_B) \cos \Delta\theta_x - \gamma_A] \cos \Delta\theta_y \cos \Delta\theta_z - \\
 & - \theta_{z,t} \{ \alpha_A + (\alpha + u - \alpha_A) \cos \Delta\theta_y + \\
 & + [(\beta - \beta_B) \sin \Delta\theta_x + (\gamma - \gamma_B) \cos \Delta\theta_x] \sin \Delta\theta_y \} \sin \Delta\theta_z + \\
 & + \theta_{x,t} [(\beta - \beta_B) \sin \Delta\theta_x + (\gamma - \gamma_B) \cos \Delta\theta_x] \sin \Delta\theta_z - \\
 & - \theta_{z,t} [\beta_B + (\beta - \beta_B) \cos \Delta\theta_x - (\gamma - \gamma_B) \sin \Delta\theta_x] \cos \Delta\theta_z.
 \end{aligned} \tag{47}$$

Другие компоненты скорости для звена 3 не приведены для сокращения объема статьи. Правильность записи уравнений движения (44) и (46) можно проверить по условию отсутствия деформации [13]

$$R = \delta V / \delta V_0 = |x_{i,\alpha_p}| = 1, \quad x_{i,\alpha_p} \equiv \partial x_i / \partial \alpha_p.$$

Уравнения движения частиц переносимого груза в точке D зависят от особенностей его закрепления на звене 3. Для зажимных захватов уравнения совпадают с уравнением (46) для звена 3, но требуют конкретизации начальных координат рассматриваемой точки, например, для определения координат центра массы груза $C_m(\alpha_{Cm}, \beta_{Cm}, \gamma_{Cm})$.

Зная компоненты скорости (45) и (47), кинетическую энергию звеньев можно найти численными способами [4–6], однако удобнее воспользоваться аналитическими зависимостями (39)–(40). Частицы звена 1 совершают плоскопараллельное движение, кинетическую энергию звена определяет уравнение (35). Частицы звена 2 вращаются относительно двух осей $\theta_{y,t} \neq \theta_{z,t} \neq 0$, $\theta_{x,t} = 0$, кинетическую энергию определяет уравнение (34). Звено 3 с подвижным полюсом B вращается относительно трех осей, кинетическую энергию определяет уравнения (39) или (40).

Для расчета требуемой мощности приводов и сил в кинематических парах целесообразно использовать анализ энергетических потоков, как в рычажных механизмах с замкнутыми кинематическими цепями [17]. Сумма скоростей изменения кинетической $W_k = dE_k/dt$ и потенциальной $W_p = dE_p/dt$ энергии движущихся тел на рассматриваемом участке механизма должна быть равна мощности W_e , поступающей от внешних источников

$$W_e = W_k + W_p.$$

Выбор полюса в уравнении (46) однозначно определен на этапе кинематического анализа, т.к. уравнения (3)–(6) предполагают его движение известным. Он должен принадлежать кинематическим парам, соединяющим ведомое и ведущее звенья. Однако при расчете обобщенных сил удобнее использовать уравнение (40) с кинематическими характеристиками центра масс [17]. Например, для звена 3 требуемую мощность внешних сил определяет уравнение

$$(W_e)_B = (W_k)_{C3} + (W_p)_{C3} + (W_k)_D + (W_p)_D,$$

где

$$\begin{aligned}
 (W_k)_{C3} = & m(x_t x_{tt} + y_t y_{tt} + z_t z_{tt})_{C3} + (\theta_{x,t} \theta_{x,tt} J_{C3}^y + \theta_{y,t} \theta_{y,tt} J_{C3}^y + \theta_{z,t} \theta_{z,tt} J_{C3}^z) - \\
 & - d \{ \theta_{y,t} \theta_{z,t} (J_{yz})_{C3} + \theta_{x,t} \theta_{z,t} (J_{xz})_{C3} + \theta_{y,t} \theta_{x,t} (J_{xy})_{C3} \} / dt,
 \end{aligned}$$

$$(W_p)_{C3} = m_{C3}g(z_t)_{C3}.$$

Это наиболее громоздкая формула для динамического анализа рассматриваемого робота, но при ее использовании трудоемкость расчета существенно ниже по сравнению с матричными вариантами. Такая методика обеспечивает выполнение закона сохранения энергии на любой части механизма в любой момент времени.

Заключение. Уравнения (39) и (40) определяют кинетическую энергию твердого тела в самом общем случае пространственного движения с произвольным вращением относительно любых осей, не требуют определения положения мгновенной оси вращения и их можно использовать для динамического анализа механизмов любой сложности при известной информации о геометрических особенностях звеньев, позволяющих определить осевые, полярные и центробежные моменты инерции, а также о текущих значениях линейных и угловых скоростей [17].

Принимая во внимание, что осевые $(I_i^j)_p$ и центробежные $(I_{ij})_p$ моменты инерции для исходного состояния тела (31)–(32) при движении не изменяются, можно утверждать, что текущие значения центробежных моментов (38) в зависимости от угла поворота тела $\Delta\theta_i$ изменяются по модулю, например для момента инерции $(I_{xy})_C$ от исходного значения $(I_{\alpha\beta})_C$ до половины разности осевых моментов инерции (в исходном состоянии) $[(I_{\alpha}^z)_C - (I_{\beta}^z)_C]/2$.

Для тел с равными главными моментами инерции, например для шара, когда $(I_{\alpha})_C = (I_{\beta})_C = (I_{\gamma})_C$ и любые две ортогональные оси, проходящие через центр тяжести, являются главными центральными осями инерции, кинетическая энергия при неизменных угловых скоростях не изменяется. В противном случае первые слагаемые в уравнениях (38) за счет разности главных центральных моментов инерции приведут к циклическим изменениям кинетической энергии, возможному проявлению прецессии и нутации, амплитуда которых зависит от угловых скоростей вращения тела.

Структура полученных уравнений не позволяет предложить альтернативную методику аналитического определения момента инерции относительно мгновенной оси вращения J_C в уравнении (1). Момент инерции можно определить только экспериментально [11].

СПИСОК ЛИТЕРАТУРЫ

1. *Козырев Ю.Г.* Промышленные роботы: основные типы и технические характеристики. М.: КНОРУС, 2015. 560 с.
2. *Подураев Ю.В.* Мехатроника: основы, методы, применение. М.: Машиностроение, 2006. 256 с.
3. Механика промышленных роботов. Т. 1: Кинематика и динамика / Под ред. К.В. Фролова, Е.И. Воробьева. М.: Высшая школа, 1989. 383 с.
4. *Корендяев А.И.* Теоретические основы робототехники. М.: Наука, 2006. 376 с.
5. *Li D.-Q., Hong H.J., Jiang X.L.* Dynamics Modeling, Control System Design and Simulation of Manipulator Based on Lagrange Equation // Mechanism and Machine Science. 2016. P. 1129.
6. *Лукинов А.П.* Проектирование мехатронных и робототехнических устройств. М.: Лань, 2012. 608 с.
7. *Liu X.-J., Wang Q.-M.* Kinematics, Dynamics and Dimensional Synthesis of a Novel 2-DoF Translational Manipulator // Journal of Intelligent and Robotic Systems. 2004. V. 41. № 4. P. 205.
8. *Бербюк В.Е.* Динамика и оптимизация робототехнических систем. М.: Физматлит, 2011. 192 с.
9. *Hwang Y.-L., Cheng J.-K., Truong V.-T.* Dynamic Analysis and Control of Industrial Robotic Manipulators. Applied Mechanics and Materials. ISSN: 1662-7482. 2018. V. 883. P. 30.

10. Кулаков Ф.М., Алферов Г.В., Малафеев О.А. Динамический анализ исполнительной системы манипуляционных роботов // Проблемы механики и управления: нелинейные динамические системы. 2014. № 46. С. 39.
11. Журавлев В.Ф. Основы теоретической механики. М.: МФТИ, 2008. 304 с
12. Гернет М.М. Курс теоретической механики. М.: Высшая школа, 1987. 344 с.
13. Алюшин Ю.А. Механика твердого тела в переменных Лагранжа. М.: Машиностроение, 2012. 192 с.
14. Алюшин Ю.А. Принцип суперпозиции движений в пространстве переменных Лагранжа // Проблемы машиностроения и надежности машин. 2001. № 3. С. 13.
15. Феодосьев В.И. Сопротивление материалов. Изд. 10-е, перераб. и доп. М.: МГТУ им. Н.Э. Баумана, 1999. 577 с.
16. Работнов Ю.Н. Механика деформируемого твердого тела. М.: Наука, 1979. 744 с.
17. Алюшин Ю.А., Вержанский П.М. Структурный, кинематический и динамический анализ рычажных механизмов. М.: МИСиС, 2015. 104 с.